

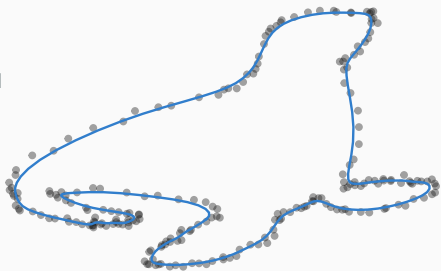
# Splines périodiques, fused lasso et reconstruction de courbes fermées

---

Olivier Binette

24 avril 2018

Université du Québec à Montréal



# Introduction

---

## Problème de la régression globale

- $\mathbb{M}$  une surface courbe ;
- famille  $\{y(x) \mid x \in \mathbb{M}\}$  de variables aléatoires à valeurs dans  $\mathbb{R}^k$  ;
- observations  $\{(x_i, y(x_i))\}_{i=1}^n$  pour  $\{x_i\}$  fixé.

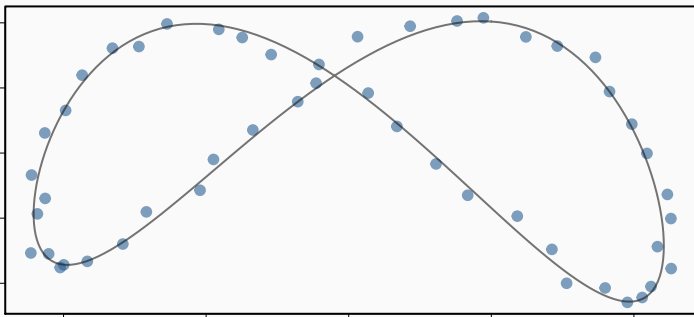
On cherche alors à estimer le plongement

$$\mathbb{E}[y] : \mathbb{M} \rightarrow \mathbb{R}^k : x \mapsto \mathbb{E}[y(x)],$$

i.e. on veut prédire  $y(x)$  de façon optimale relativement à une perte  $L^2$  et pour  $x \in \mathbb{M}$  arbitraire.

## Exemple

- $\mathbb{M} = \mathbb{S}^1 = \mathbb{R}/2\pi\mathbb{Z}$  le cercle et  $y$  un bruit blanc gaussien centré sur  
 $\mathbb{E}[y(u)] = (2 \sin(u) + \sin(u+1.6), \cos(2u) + \cos(u) + \cos(u+3))$ .  
On observe  $y(x_i) \in \mathbb{R}^2$  pour  $x_i = 2\pi i/n, i = 1, 2, \dots, n$ .



## Approche

- base de fonctions  $\{\phi_j : \mathbb{M} \rightarrow \mathbb{R}\}_{j=1}^d$  et modèle

$$\mathcal{H} = \{f_\beta : x \mapsto \Phi(x)^T \beta \mid \beta \in \mathbb{R}^d\}$$

où  $\Phi(x) = [\phi_1(x) \cdots \phi_d(x)]^T$ .

- on estime  $\mathbb{E}[y]$  par

$$\operatorname{argmin}_{f \in \mathcal{H}} \sum_i (y_i - f(x_i))^2 + \pi(f)$$

où  $\pi$  est une fonction de pénalisation sur  $\mathcal{H}$ .

# Construction des espaces de fonctions

---

**Rappel :**  $\mathcal{H} = \{f_\beta : x \mapsto \Phi(x)^T \beta \mid \beta \in \mathbb{R}^d\}$ , où  $\Phi(x) = (\phi_1(x), \dots, \phi_d(x))$ .

- On prend pour  $\{\phi_j\}$  une partition de l'unité :
  - $\phi_j \geq 0$ ;
  - $\sum_j \phi_j(x) = 1$  pour tout  $x \in \mathbb{M}$ .
- Une partition de l'unité *localisée* sur de petites fenêtres de support.

## Exemple

On partitionne  $\mathbb{M}$  en régions  $R_j \ni z_j$  et on pose  $\phi_j = 1_{R_j}$ . Alors, l'estimation des moindres carrés est

$$\hat{f}_{\text{MCO}} = \sum_{j=1}^d \text{moy}\{y(x_i) \in R_j\} 1_{R_j},$$

où  $\text{moy}\{y(x_i) \in R_j\} = \sum_{y(x_i) \in R_j} y_i / \#\{y_i \in R_j\}$ .

Mal défini si une région  $R_j$  ne contient pas d'observations !



## Lissage

Soit  $T : L^1(\mathbb{M}) \rightarrow L^1(\mathbb{M})$  un opérateur linéaire positif tel que  $T(1) = 1$  et soit  $\mathbb{M}$  compact. Alors :

- $\{T\phi_j\}$  forme encore une partition de l'unité ;
- il existe une famille  $\{U(x) \mid x \in \mathbb{M}\}$  de variables aléatoires telles que  $Tf(x) = \mathbb{E}[f(U(x))]$  (Thm représentation Riesz (Rudin, 1987)).

## Exemple

Si  $\mathbb{M} \subset \mathbb{R}$ ,  $U(x) \sim N(x, 1)|_{\mathbb{M}}$ , alors  $Tf : x \mapsto \mathbb{E}[f(U(x))]$  est une convolution avec un noyau gaussien.

# Principes généraux

En raffinant la partition  $\{R_j\}$ , on obtient des modèles emboîtés  $\mathcal{H}_1 \subset \mathcal{H}_2 \subset \dots \subset \mathcal{H}_d \subset \dots$  associés à des bases  $\{\phi_{j,d}\}_j$ ,  $d \in \mathbb{N}$ .

## Proposition (mathstatnotes, 2016)

Soit  $(\mathbb{M}, d_{\mathbb{M}})$  un espace métrique compact mesuré de mesure finie et soit  $\{R_{j,d}\}_{j=1}^{m_d}$  une suite de partitions de  $\mathbb{M}$  telle que  $\max_j \text{diam}(R_{j,d}) \rightarrow 0$  lorsque  $d \rightarrow \infty$ . Si  $\{\phi_{j,d}\}_{j=1}^{m_d}$  est une suite de partitions de l'unité localisée sur  $\{R_{j,d}\}$  au sens où  $\sup_{x: d_{\mathbb{M}}(x, R_{j,d}) \geq \delta} \phi_{j,d}(x) \rightarrow 0$  pour tout  $\delta > 0$ , alors le modèle non paramétrique

$$\mathcal{H}_{\infty} = \bigcup_{d \geq 0} \left\{ \sum_{j=1}^{m_d} c_j \phi_{j,d} \mid (c_1, \dots, c_{m_d}) \in \mathbb{R}^{m_d} \right\}$$

est dense dans  $(\mathcal{C}(\mathbb{M}), \|\cdot\|_{\infty})$  et dans  $L^1(\mathbb{M})$ .

## Le cas du cercle

---

## Le cas du cercle

Prenons  $\mathbb{M} = \mathbb{S}^1 = \mathbb{R}/2\pi\mathbb{Z}$  le cercle. On pose :

- $R_{j,d} = \left[ \frac{(2j-1)\pi}{d}, \frac{(2j+1)\pi}{d} \right)$  les arcs disjoints de longueur  $2\pi/d$  centrés en  $z_{j,d} = 2\pi j/d$ ,  $j = 1, \dots, d$  ;
- $U_d(x)$  une variable aléatoire uniformément distribuée sur l'arc  $x + R_{0,d}$  centré en  $x$  ;
- $K_d : f \mapsto (x \mapsto \mathbb{E}[f(U_d(x))])$  l'opérateur de convolution avec  $U_d(x)$ .

On obtient la base de partition de l'unité

$$\phi_{j,d}^{(\ell)} = K_d^\ell \mathbf{1}_{R_{j,d}}, \quad j = 1, \dots, d,$$

où  $d$  représente une largeur de fenêtre et  $\ell$  est un paramètre de lissage.

## Remarques

- $\phi_{j,d}^{(\ell)}$  est proportionnel à la densité de la somme, recentrée en  $2\pi j/d$ , de  $\ell + 1$  variables uniformément distribuées sur  $R_{0,d}$ .
- Ces fonctions appelées des splines (ici périodiques), et ce sont des polynômes par morceaux de degré  $\ell$ .

## Forme analytique

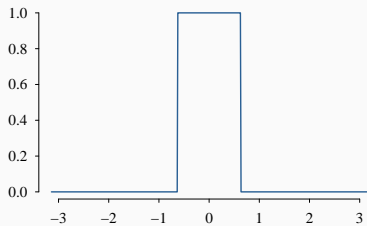
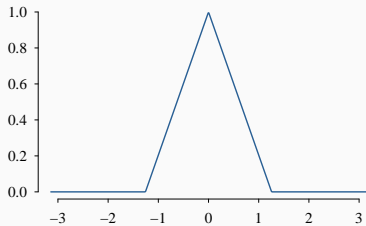
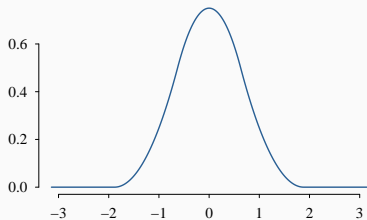
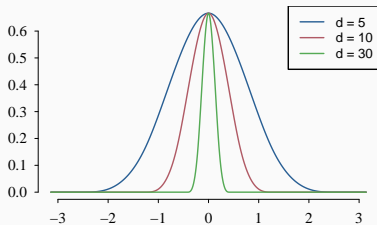
Fonction de répartition  $F$  d'une somme de  $\ell + 1$  variables uniformément distribuées sur  $[0, 1]$  :

$$F(x) = \sum_{k=0}^{\lfloor x \rfloor} (-1)^k \frac{(x-k)^{\ell+1}}{k!(\ell+1-k)!}.$$

Avec  $u = 2\pi \frac{x-(\ell+1)/2}{d}$  et en dérivant, on obtient

$$\phi_{0,d}^{(\ell)}(u) = \sum_{k=0}^{\lfloor x \rfloor} (-1)^k \binom{\ell+1}{k} \frac{(x-k)^\ell}{\ell!}$$

et  $\phi_{j,d}^{(\ell)}(u) = \phi_{0,d}^{(\ell)}(u - 2\pi j/d)$ .

**ell = 0****ell = 1****ell = 2****ell = 3**

## Diminution de la variation

L'opérateur  $K_n$  diminue la variation totale définie par

$$\mathrm{TV}(f) = \sup_{0 \leq t_1 \leq \dots \leq t_s < 2\pi} \sum_{j=1}^s |f(t_{j+1}) - f(t_j)| \quad (t_{s+1} = t_1),$$

lorsque  $f$  est un élément d'un modèle  $\mathcal{H}$  de splines (Richards, 1973).

Donc pour  $f_\beta^{(\ell)} = \sum_{j=1}^d \beta_j \phi_{j,d}^{(\ell)} = K^\ell f_\beta^{(0)}$ , on a

$$\mathrm{TV}(f_\beta^{(\ell)}) \leq \mathrm{TV}(f_\beta^{(0)}) = \sum_{j=1}^d |\beta_{j+1} - \beta_j| \quad (\beta_{d+1} = \beta_1). \quad (1)$$



On fait donc la régularisation de la variation totale avec la pénalité *fused lasso*

$$\pi_\lambda(\mathbf{f}_\beta^{(\ell)}) = \lambda \sum_{j=1}^d |\beta_{j+1} - \beta_j|. \quad (2)$$

(Tibshirani et al., 2005; Tibshirani and Taylor, 2011)

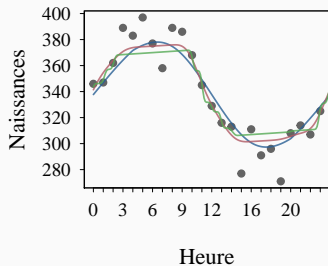
### Remarques

- D'un point de vue heuristique, cette pénalisation cherche à réduire le *run length encoding* de la séquence de paramètres  $\beta$ .
- Variante *fused ridge* :

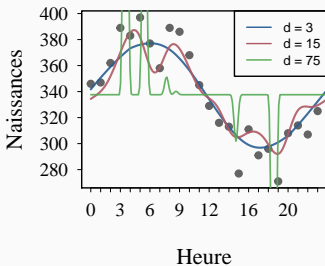
$$\pi_\lambda^{L^2}(\mathbf{f}_\beta^{(\ell)}) = \lambda \sum_{j=1}^d |\beta_{j+1} - \beta_j|^2.$$

# Exemples

## Fused lasso

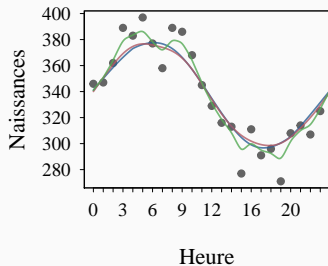


## Lasso

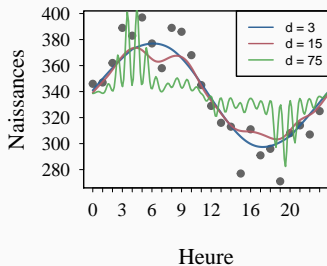


# Exemples

## Fused ridge



## Ridge

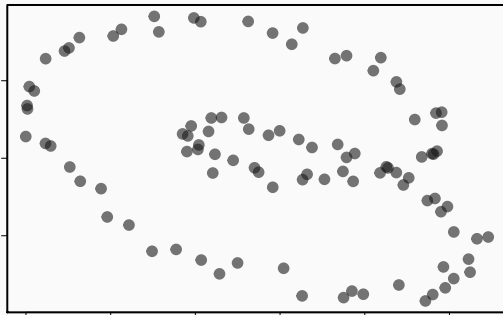


# Reconstruction de courbes fermées

---

## Reconstruction de courbes fermées

Soit  $\gamma : \mathbb{S}^1 \rightarrow \mathbb{R}^2$  une courbe. On observe des points  $y(x_i) = \gamma(x_i) + \varepsilon_i$ , où  $\varepsilon_i$  est un bruit de moyenne nulle et où la *paramétrisation*  $\{x_i\}$  du nuage de points **est inconnue**.



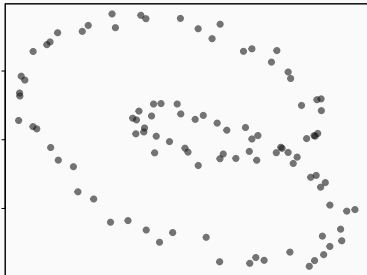
## Approche

1. Estimer la paramétrisation  $\{x_i\} \subset \mathbb{S}^1$ .
2. Appliquer nos méthodes de régression.

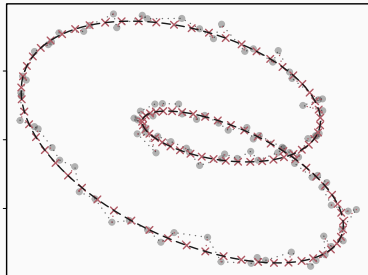
## Idée

- La caractéristique essentielle de la paramétrisation est l'**ordre cyclique** des points  $x_i$ .
- On estime cet ordre en calculant le **cycle hamiltonien minimal** (Giesen, 2000; Hahsler et al., 2008).

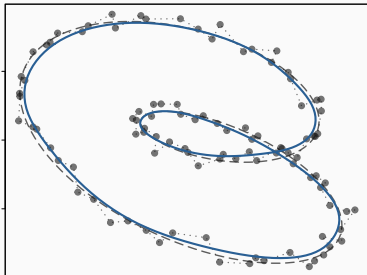
**Données brutes**



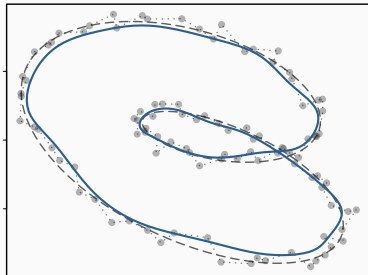
**Structure sous-jacente**



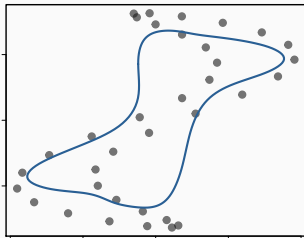
**Fused ridge**



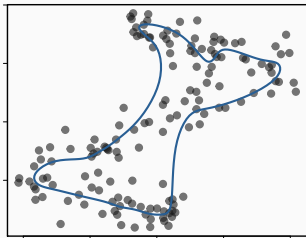
**Ridge**



**Pas assez d'observations**

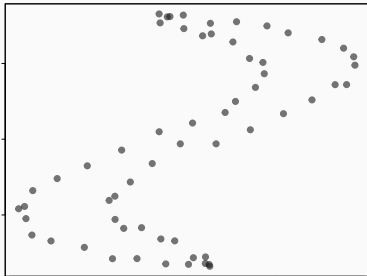


**Trop de bruit**

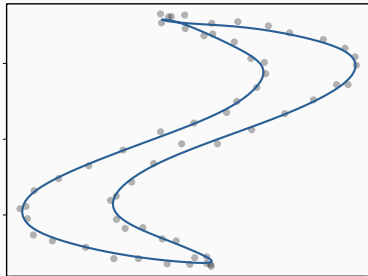




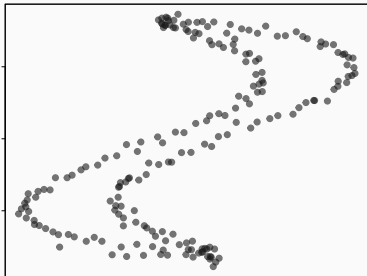
**Données brutes**



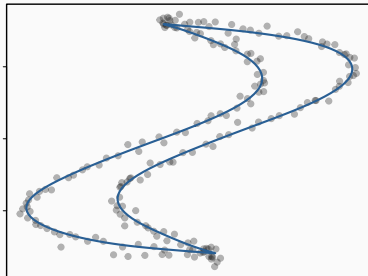
**Fused ridge**



**Données brutes**



**Fused ridge**



## Conclusion

---

# Conclusion

- **Partitions de l'unité et splines** : leur interprétabilité permet de faire de la régularisation de façon intelligente  $\Leftrightarrow$  spécifier a priori informatif.
- **Fused lasso** : réduit la sensibilité au choix du nombre d'éléments de base. Pas besoin de tomber dans le nonparamétrique pour obtenir de bons résultats.
- **Reconstruction de courbes/surfaces** : encore beaucoup de travail à faire !
- [github.com/OlivierBinette/Splinit](https://github.com/OlivierBinette/Splinit)

## Références

---

Discussions avec Debdeep Pati / Bayesian closed surface fitting through tensor products.

Binette, O. (2018). Topologie et apprentissage machine. *Notes from the Margin*. Journal étudiant de la Société Mathématique Canadienne.

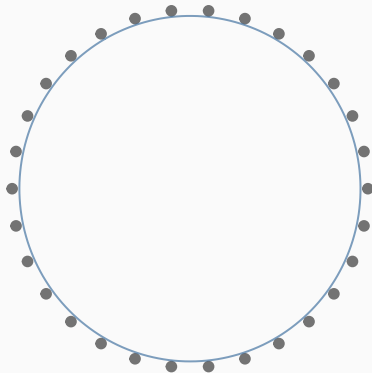
DeVore, R. A. and G. G. Lorentz (1993). *Constructive approximation*. Springer-Verlag, Berlin.

- Giesen, J. (2000, Dec). Curve reconstruction, the traveling salesman problem, and menger's theorem on length. *Discrete & Computational Geometry* 24(4), 577–603.
- Hahsler, M., K. Hornik, and C. Buchta (2008). Getting things in order : An introduction to the r package seriation. *Journal of Statistical Software, Articles* 25(3), 1–34.
- Richards, F. B. (1973). Best bounds for the uniform periodic spline interpolation operator. *Journal of Approximation Theory* 7(3), 302 – 317.
- Rudin, W. (1987). *Real and complex analysis* (Third ed.). New York : McGraw-Hill Book Co.

- Tibshirani, R., M. Saunders, S. Rosset, J. Zhu, and K. Knight (2005). Sparsity and smoothness via the fused lasso. *Journal of the Royal Statistical Society : Series B (Statistical Methodology)* 67(1), 91–108.
- Tibshirani, R. J. and J. Taylor (2011, 06). The solution path of the generalized lasso. *Ann. Statist.* 39(3), 1335–1371.

```
angles = 2*pi*(1:30)/30
points = cbind(cos(angles), sin(angles))
points = points[sample(1:30, 30), ]

par(mar=c(0,0,0,0));plot(points, col=0, xlab="", ylab="", axes=F)
lines(splinit(points))
```



# Code

```
phi <- function(d, ell) {  
  # Base spline function.  
  
  fun <- function(u) {  
    x = (d*u/(2*pi) + (ell+1)/2)  
    if(x < 0) return(0)  
    k = 0:floor(x)  
    sum((-1)^k * choose(ell+1, k) * (x-k)^ell / factorial(ell))  
  }  
  return(Vectorize(fun))  
}
```



# Code

```
spline.design <- function(X, d, ell) {  
  # Design matrix.  
  
  Phi <- function(u, d, ell) {  
    u = u - (0:(d-1))*2*pi/d  
    u = u %% (2*pi)  
    u[u > pi] = u[u > pi] - 2*pi  
    phi(d, ell)(u)  
  }  
  t(sapply(X, function(u) Phi(u, d, ell)))  
}  
  
circulant <- function(x, d = length(x)) {  
  matrix(x[(1:d - rep(1:d, each=d)) %% d + 1L], ncol=d, byrow=TRUE)  
}
```

# Code

```
splinit.reg <- function(X, Y, dim=5*ceiling(length(Y)^0.33)+5, degree=3
                        fused = TRUE, type = "ridge",
                        eval.pts=seq(0, 2*pi, length.out=200))
{
  # Regularisation matrix
  rho = if (fused) 1 else 0;
  G = circulant(c(1, -rho, rep(0, dim-2)))
  G.inv = ginv(G)

  # Spline basis
  M = spline.design(X, dim, degree)
  Mu = spline.design(eval.pts, dim, degree)

  # Cross validated estimation
  alpha = if (type == "ridge") 0 else 1;
  beta = coef(cv.glmnet(M %*% G.inv, Y, alpha=alpha))

  Mu %*% G.inv %*% beta[-1] + beta[1]
}
```

# Code

```
splinit <- function(Y, param = NULL,
                    knn = ceiling(nrow(Y)^0.33) + 1, rep = 20, ...)
{
  n = nrow(Y)
  if (missing(param)) {
    # Parameterization estimation
    d = isomapdist(dist(Y), k=knn)
    param = solve_TSP(TSP(d), method="two_opt", rep=rep)
  }

  # Independent regressions on the components of Y
  fun <- function(y) {splinit.reg(2*pi*(1:n)/n, y[param], ...)}
  apply(Y, 2, fun)
}
```